Provisorische Geologische Karte
nach einem Manuskript
von W. Zacher

GEOFAST 1:50 000

84 - Jungholz

Stand: 2009
Ausgabe: 2010/10

Lage der Darstellung in Österreich
mit Blattraster ÖK50
1 : 5 000 000

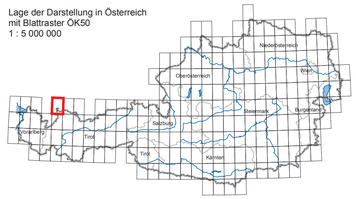

Tektonische Übersicht 1: 400 000

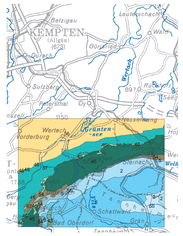

Erhältlich im Verlag der Geologischen Bundesanstalt - www.geologie.ac.at, A-1030 Wien, Neulinggasse 38.
© 2010 Geologische Bundesanstalt für den Datensatz und alle abgeleiteten Produkte. -
Topografie © BEV - 2010, Vervielfältigt mit Genehmigung des BEV - Bundesamtes für Eich- und Vermessungswesen in Wien, T2010/62921.

Projektleitung: H. G. Krenmayr,
geol. u. kart. Redaktion: W. Pavlik,
GIS-Bearbeitung: I. Bayer -
Techn. Koordination: M. Schiegl.

Verteilung der Aufnahmsgebiete Kartenmanuskript von W. Zacher

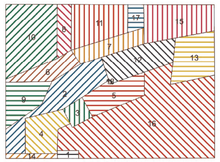

KOMPILATION:
M. MOSER 2009

1 Bauberger, W. (1954): Geologische Karte der bayerischen Berge östlich der Ostrach zwischen Bad Oberdorf und dem Giebel, 1:25.000, Geol. Jb., Bh.48, Hannover

2 Custodis, A. & Schmidt-Thomé, P. (1939): Geologische Karte der bayerischen Berge zwischen Hindelang und Pfronten im Allgäu, 1:25.000, N. Jb. Min., §0, Ab1.B, ergänzt nach Häussler, H. (1979).

3 El-Noor, W. (1966): Geologische Karte der Berge östlich von Unterjoch im Allgäu, 1:10.000, unveröff. Dipl. Arb., TH München.

4 Gaupp, R. (1977): Geologische Karte der Berge nördlich von Hindelang (Allgäu). 1:5.000, unveröff. Dipl. Arb., TH München.

5 Harsch, U. (1990): Geologische Karte der Berge östlich von Unterjoch im Allgäu, 1:10.000, unveröff. Dipl. Arb., TU München

6 Häussler, H. (1979): Unveröff. Manuskriptkarte 1:12.500, Bayer. Geol. L.-Amt.

7 Lorke, M., ergänzt nach Häussler, H. (1979): Geologische Karte des Reichenbach-Gebietes SW Nesselwang im Allgäu, 1:10.000, unveröff. Dipl. Arb., TU München

8 Heidari-Bateni, F. (1974): Geologische Karte der Murnauer Mulde im Bereich des Marktes Wertach/Allgäu, 1:5.000, unveröff. Dipl. Arb., TH München

9 Höpfner, B. (1970): Verbreitung der Kreide-Tertiär-Grenzschichten zwischen Iller und Wertach, 1:10.000, Diss. Univ. München, ergänzt nach Häussler,H. (1979)

10 Mansourl, P. (1975): Geologische Karte der Subalpinen Molasse zwischen Kranzegg und dem Gebiet westlich von Wertach im Allgäu, 1:5.000, unveröff. Dipl. Arb., TH München

11 Moussavian, E. (1976): Geologische Karte der Subalpinen Molasse östlich von Wertach im Allgäu, 1:5.000, unveröff. Dipl. Arb., TH München

12 V. Rad, U. (1960): Geologische Karte der Berge zwischen Jungholz und Pfronten (Allgäu). 1:5.000, Dipl. Arb., TH München

13 Reisinger, A. (2000): Geologische Karte der Umgebung von Pfronten im Ostallgäu, 1:10.000, unveröff. Dipl. Arb., TU München

14 Richter, D. (1954): Geologische Karte der Allgäuer Alpen südlich Hindelang, 1:25.000, Bh.48, Hannover

15 Schumertl, U. (1999): Geologische Manuskriptkarte 1:10.000, unveröff., TU München

16 Zacher, W. (1959): Geologie der Umgebung des Tannheimer Tales, 1:25.000, unveröff. Diss., TH München (mit Nachträgen bis 1999)

17 Zacher, W. (1999): Manuskriptkarte 1:25.000, unveröff.

18 Zacher, W. (1996): unpublizierte Manuskriptkarte 1.25.000 (mit Ergänzungen 2008)

Hinweis für Nutzer/-innen
GEOFAST-Karten werden überwiegend aus Archivunterlagen der Geologischen Bundesanstalt erstellt. Ergänzend können auch publizierte Karten, meist älteren Datums, in die Zusammenstellung einfließen. Eine Überprüfung durch zusätzliche Geländebegehungen erfolgt nicht. Diskontinuitäten zwischen den verwendeten Kartenunterlagen verschiedener Autoren werden bewusst beibehalten und können sich als Sprünge in den Konturlinien äußern. Geologische Inhalte werden in die aktuellen stratigrafischen und tektonischen Modelle überführt. Aufgrund der Übertragung der geologischen Inhalte von Karten mit veralteter Topografie und größeren Maßstäben in die aktuelle topografische Grundlage sind Lageungenauigkeiten vorhanden.

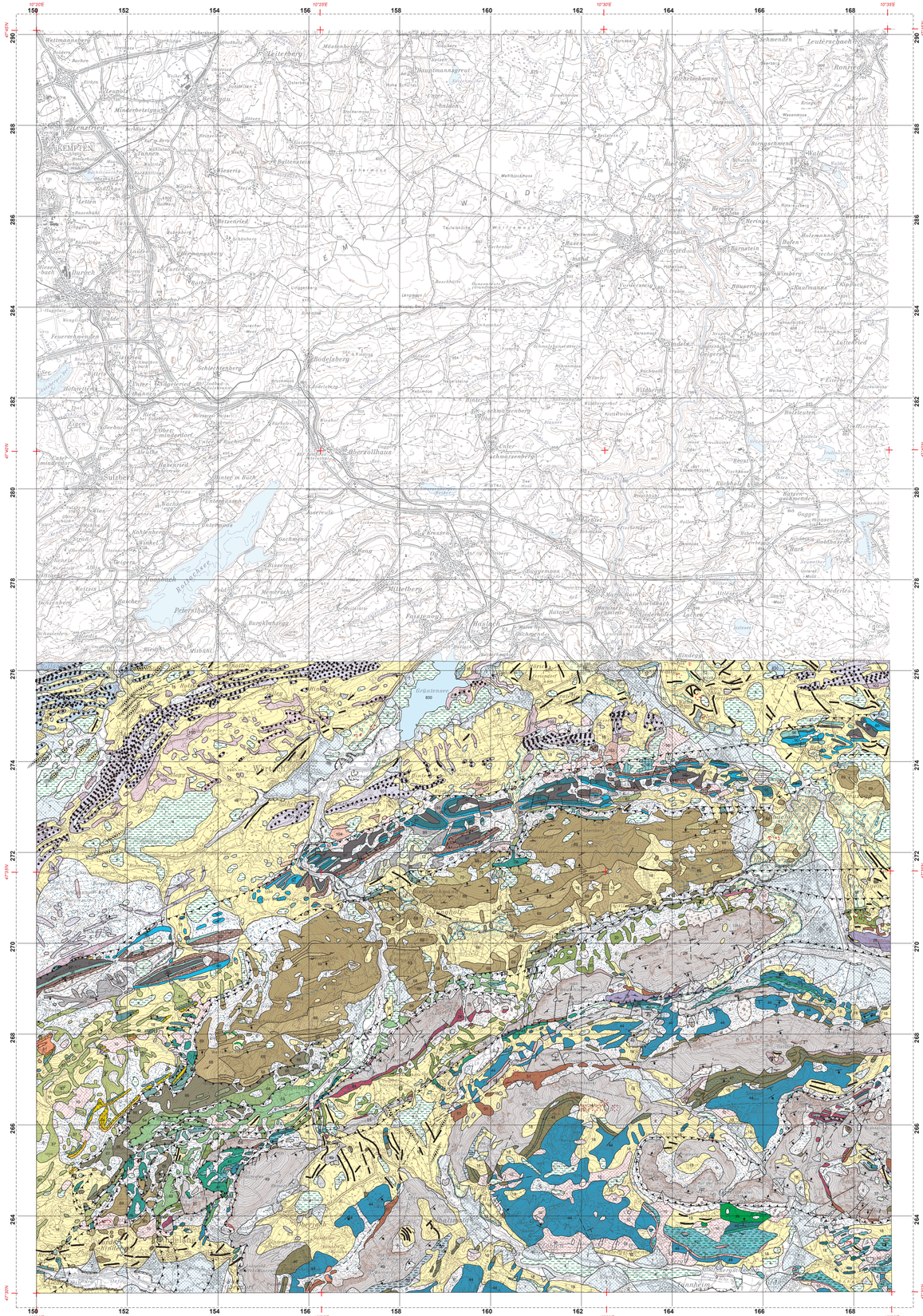

QUARTÄR

Holozän

- 1 Anthropogene Ablagerung, Deponie
- 2 Talboden, jüngste Ablagerungen, rezenter Talboden, Talalluvion (Schluff, Sand, Kies)
- 3 Postglazialschotter & -sande (Sand, Schotter)
- 942 Terrassenkante, Erosionskante
- Vernässung, Moor
- 8 Kalktuff, Quelltuff, Kalksinterbrekzie, Kalksinter
- 5 Hangschutt
- Schwemmkegel, Schwemmfächer, Murenkegel
- Schuttfächer, Schuttkegel
- 11 Murgang
- 9 Blockwerk, Blockschutt

Spätglazial

- 10 Rutschhang, Fließerde, Rutschmasse, Hangrutschung, Kriechhang, Hangfließen, Bergschlipf
- 945 Abrißkante
- 14 Seeton, Stillwasserablagerung (spätglazial bis postglazial)
- 12 Hoch- bis spätglaziale Terrassensedimente (u.a. Eiserandbildungen und Seetone - Schotter, Sand, Schluff); spätes Würm

Würm

- 949 Terrassenkante, Erosionskante
- 881 Toteisloch
- 16 Lokalmoräne, Grundmoräne
- 918 mit Wallform
- 17 Moränengroßblockwerk
- 18 Fernmoräne, Grundmoräne
- 919 mit Wallform
- 884 Drumlin
- f19 Frühglaziale Schmelzwasserablagerungen

Riß

- 19 Schmelzwasserablagerungen des Riß (sandig-schluffiger Kies, Nagelfluh)

ALPIDISCHE MOLASSE

Vorlandmolasse

- 98 Konglomeratlage

Untere Süßwassermolasse

- 99 Kojen-Formation (Sandstein, Nagelfluh; bunt; Oberes Egerium (Aquitanium))
- 100 Steigbach-Schichten (Sandstein, schluffige Mergel, Nagelfluh; grau; Unteres Egerium)
- 101 Weißach-Schichten (Konglomerat, Sandstein, schluffige Mergel, bunt; Unteres Egerium)

Untere Meeresmolasse

- 102 Baustein-Schichten (Kalksandstein; Oberes Rupelium - Unteres Egerium)
- 103 Tonmergel-Schichten (grauer, schluffiger Tonstein; Rupelium)
- 104 Deutenhausen-Formation (Sandstein, sandige Tonmergel; Lattorfium - Unteres Rupelium)

OSTALPIN

Bajuvarisches Deckensystem

Lechtal-Decke

- 20 Branderfleck-Formation ungegliedert, Cenomanium Sandstein u. Konglomerat (Grob- und Feinbrekzie, sandiger Mergel, Sandstein, Konglomerat; Turonium)
- 20 Branderfleck-Formation - Mergel (Cenomanium - Turonium)
- 42 Branderfleck-Formation - Konglomerat und Breccie (Cenomanium - Turonium)
- 21 Schrambach-Formation, Neokom Aptychenschichten, Graue Aptychenschichten, Neokommergel (Fleckenmergel, Kalkmergel, Mergel, Kalk; Berriasium - Aptium)
- Ammergau-Formation, Malm Aptychenschichten (Kalk, Kalkmergel; Kimmeridgium - Berriasium)
- 23 Steinmühlkalk, Malmkalk (weißer Kalkarenit, roter Kalkpelit, Breccie; Malm)
- Kirchsteinkalk, Grauer Spongienkieselkalk, Liaskieselkalk (dunkler grauer Kieselkalk, kieselige Mergel; Unterjura - Mitteljura)
- 24 roter, bunter Liaskalk (Unterjura)
- 124 Kössener Kalk, besonders kalkreiche Ausbildung (dunkler gut gebankter Kalk; Oberes Norium - Rhaetium)
- 125 Plattenkalk (gut gebankter bis plattiger laminierter graubrauner Kalk; Oberes Norium)
- 25 Hauptdolomit (grauer bis graubrauner gebankter Dolomit; Oberes Karnium - Norium)
- 26 Raibl Gruppe ungegliedert (Tonstein, Mergel, Sandstein, Kalkstein, Dolomitstein; Karnium)
- 27 karbonatisch (graubrauner Kalk, Dolomit; Karnium)
- 28 Wettersteinkalk, -dolomit (gebankter bis massiger Kalkstein, heller, zuckerkörniger Dolomit; Oberes Oberanisium - Unteres Karnium)

Vilser Decke

- 29 Tannheim-Formation (grauer bis bunter Tonmergel, z.T.sandig, Sandstein; Aptium - Albium)
- 130 Steinmühlkalk, Malmkalk (weißer Kalkarenit, roter Kalkpelit, Breccie; Malm)
- 131 Chiemgauer Schichten, schwarzer Doggerkieselkalk (dünnbankiger kieseliger Spatkalk; Mitteljura)
- 31 Allgäu-Formation, Liasfleckenmergel, Allgäu-Formation (grauer Fleckenmergel, Kalkmergel, z.T. kieselig; Unterjura - Mitteljura)
- Kirchsteinkalk, Grauer Spongienkieselkalk, Liaskieselkalk (dunkler grauer Kieselkalk, kieselige Mergel; Unterjura - Mitteljura)
- 33 roter, bunter Liaskalk (Unterjura)
- 34 Oberrhätkalk - Rhätoliaskalk ungegliedert (Riff- bis Riffschuttkalk, Ooidkalk; Oberes Rhaetium)
- 35 Kössen-Formation ungegliedert (dunkler Mergel bis Kalkmergel; Oberes Norium - Rhaetium)
- Hauptdolomit-Breccie
- 37 Hauptdolomit (grauer bis graubrauner gebankter Dolomit; Oberes Karnium - Norium)
- 38 Raibl Gruppe ungegliedert (Tonstein, Mergel, Sandstein, Kalkstein, Dolomitstein; Karnium)

Allgäu-Decke

- 50 Losenstein-Formation (Sandstein, Sandmergel, Konglomerat; Oberes Albium - Unteres Turonium)
- 40 Tannheim-Formation (grauer bis bunter Tonmergel, z.T.sandig, Sandstein; Aptium - Albium)
- 41 Schrambach-Formation, Neokom Aptychenschichten, Graue Aptychenschichten, Neokommergel (Fleckenmergel, Kalkmergel, Mergel, Kalk; Berriasium - Aptium)
- Ammergau-Formation, Malm Aptychenschichten (Kalk, Kalkmergel; Kimmeridgium - Berriasium)
- 43 Ruhpoldinger Radiolarit (roter, grüner Radiolarit, Kieselkalk, Hornsteinkalk; Oxfordium)
- 144 roter, bunter Liaskalk (Unterjura)
- 44 Allgäu-Formation, Liasfleckenmergel, Allgäu-Formation (grauer Fleckenmergel, Kalkmergel, z.T. kieselig; Unterjura - Mitteljura)
- 45 Schattwald-Formation (rötlicher bis grauschwarzer glimmerreicher Tonmergel; Unteres Hettangium)
- 46 Kössen-Formation ungegliedert (dunkler Mergel bis Kalkmergel; Oberes Norium - Rhaetium)
- 47 Kalk, besonders kalkreiche Ausbildung (dunkler gut gebankter Kalk; Oberes Norium - Rhaetium)
- 48 Plattenkalk (gut gebankter bis plattiger laminierter graubrauner Kalk; Oberes Norium)
- 49 Hauptdolomit (grauer bis graubrauner gebankter Dolomit; Oberes Karnium - Norium)
- kalkige Einschaltungen (Oberes Karnium - Norium)
- 51 Raibl Gruppe ungegliedert (Tonstein, Mergel, Sandstein, Kalkstein, Dolomitstein; Karnium)
- 52 Alpiner Buntsandstein (bunter meist rötlicher Quarzsandstein; Untertrias)

Kalkalpine Randschuppe

- 53 Mittelkreide der Randschuppe ("Rand Cenoman")
- 150 Losenstein-Formation (Sandstein, Sandmergel, Konglomerat; Oberes Albium - Unteres Turonium)
- 54 Tannheim-Formation (grauer bis bunter Tonmergel, z.T.sandig, Sandstein; Aptium - Albium)
- 154 Schrambach-Formation, Neokom Aptychenschichten, Graue Aptychenschichten, Neokommergel (Fleckenmergel, Kalkmergel, Mergel, Kalk; Berriasium - Aptium)
- Ammergau-Formation, Malm Aptychenschichten (Kalk, Kalkmergel; Kimmeridgium - Berriasium)
- 157 Allgäu-Formation, Liasfleckenmergel, Allgäu-Formation (grauer Fleckenmergel, Kalkmergel, z.T. kieselig; Unterjura - Mitteljura)
- 57 roter, bunter Liaskalk (Unterjura)
- 58 Hauptdolomit (grauer bis graubrauner gebankter Dolomit; Oberes Karnium - Norium)

PENNINIKUM

Obere penninische Decken

Arosa Zone

- 59 Klastische Mittelkreide (Sandstein, roter Tonmergel; Albium - Turonium)
- 60 basische Vulkanite, Diabas
- 62 Ammergau-Formation, Malm Aptychenschichten (Kalk, Kalkmergel; Kimmeridgium -Berriasium)
- 63 Allgäu-Formation, Liasfleckenmergel (grauer Fleckenmergel, Kalkmergel, z.T. kieselig; Unterjura - Mitteljura)

Rhenodanubische Flyschzone

Oberstdorfer Decke

- 64 "Zementmergel-Serie" (heller Tonmergel; Coniacium - Maastrichtium)
- 65 Reiselsberg-Formation (glimmerhaltige Grauwacke; Oberes Cenomanium - Turonium)
- 66 Rehbreingraben-Formation, ""Gault-Flysch"" (dunkelgrauer, glaukonitischer, feinkörniger Quarzit und Sandstein sowie bunte Tonschiefer; Aptium - Albium)
- 67 Tristel-Formation, Neokom - Flysch (Sandkalk, dunkelgraue Tonmergel, Breccien, z.T. sandige Fossilschuttkalke; Barremium - Aptium)

Sigiswanger Decke

- 68 Piesenkopf-Formation (Kalk und Tonmergel; Coniacium - Santonium)
- 69 Reiselsberg-Formation (glimmerhaltige Grauwacke; Oberes Cenomanium - Turonium)
- 70 Ofterschwang-Formation (Sandstein, Sandkalk, Tonmergel; Cenomanium)

HELVETIKUM

Ultrahelvetikum

Liebensteiner Decke -Feuerstätter Klippendecke

- 71 Schmiedebach-Formation (dunkle Tonmergel; Coniacium - Mitteleozän)
- 72 Leimernmergel, Leimernkalk (heller Fleckenmergel, heller Kalk; Oberes Cenomanium - Mitteleozän)
- 73 Leimernkalk, Liebensteiner Kalk (grauer gebankter Kalk; Cenomanium - Santonium)
- 74 Freschenschiefer (dunkle Schiefer und Sandstein; Albium - Cenomanium)
- 75 Junghansen-Schichten, ungegliedert (Sandstein, Feinbreccie, schwarzer Ton; Turonium - Mitteleozän)
- 77 Rote Gschlief-Schichten (roter Tonstein; Paleozän - Untereozän)
- 76 Feuerstätter Sandstein (Glaukonitsandstein; Paleozän)

Südhelvetikum

- 80 Stad-Mergel (grauer Mergel; Obereozän)
- 81 Nummulitenschichten (rötlicher, organogener Schuttkalk; Eozän)
- 82 Erzschichten (eisenhaltiger, bräunlicher Trümmerkalk, Eozän)
- 83 Lithothamnien - Nummulitenkalk (Oberes Paleozän - Eozän)
- 84 Oberstdorfer Grünsandstein (organogener Schuttkalk, Paleozän)
- 85 Dreiangel-Serie (schwarzbräunlichgrauer - dunkelgrüner Mergel, Mergelkalk und glaukonitischer Sandstein; Oberes Maastrichtium - Paleozän)
- 86 Hachauer-Schichten (Oberes Maastrichtium)
- 87 Wang-Formation (grauer, sandig-kalkiger Mergel; Oberes Campanium - Maastrichtium)
- 89 Amden-Formation, Leistmergel (grauer Tonmergel; Coniacium - Campanium)
- 90 Seewerkalk (heller Kalk; Turonium - Santonium)
- 91 Garschella-Formation; "Gault" i.w.S., ungegliedert (glaukonitische Sandsteine; Oberes Aptium - Cenomanium)
- Brisi-Sandstein (hellgrüner Quarzsandstein; Oberes Aptium)
- 93 Gamser Schichten (glaukonitischer Sandmergel; Oberes Aptium)
- 94 Kappeler-Formation ("Aptium-Mischfazies": Mergel und biogene Kalke; Aptium)
- 96 Schratten-Formation (biogener Kalkstein; Oberes Barremium - Unteres Aptium)
- 97 Drusberg-Formation (dunkelgrauer Tonmergel; Barremium)

Diverse Zeichen

- Störung (gesichert)
- Störung (vermutet)
- Deckengrenze (gesichert)
- Deckengrenze (vermutet)

Streichen und Fallen der Schieferung und Schichtung

- 5 - 30°
- 30 - 60°
- 60 - 85°
- 85 - 90°
- Doline
- 830 Gewässer

1 : 50 000 (1 cm ≙ 500 m)

500 0 1000 2000 3000 4000 5000 m

Gauß-Krüger-Abbildung, Koordinatensystem M 28 des Bundesmeldenetzes